

УДК 542.924:541.127:546.26

**Т. Л. Ракитская, А. С. Труба, С. Э. Самбурский, Л. В. Короеva**

Одесский национальный университет им. И. И. Мечникова,  
кафедра неорганической химии и химической экологии,  
ул. Дворянская, 2, Одесса, 65026, Украина

## СОСТОЯНИЕ ЗАКРЕПЛЕННОГО НА ОКСИДНЫХ НОСИТЕЛЯХ ГЕКСАМЕТИЛЕНТЕТРАМИНА И ЕГО КОМПЛЕКСОВ С Cu(II), Co(II) И Mn(II)

Методом ИК-спектроскопии и ЭСДО получены спектральные характеристики ГМТА, воздушно-сухих образцов  $\text{SiO}_2$  и  $\text{Al}_2\text{O}_3$ , а также закрепленных на них ГМТА и его комплексов с медью(II), кобальтом(II) и марганцем(II). Показано, что ГМТА, а также его комплексы с Cu(II), Co(II) и Mn(II) взаимодействуют с OH-группой оксидных носителей через молекулу воды.

**Ключевые слова:** спектральные характеристики, гексаметилентетрамин, комплексы, носители.

Нами впервые показано, что закрепленный на оксидных носителях ( $\text{SiO}_2$ ,  $\text{Al}_2\text{O}_3$ ) ГМТА и его комплексы с хлоридами Cu(II), Co(II) и Mn(II) эффективно разлагают озон. Однако из-за отсутствия информации о характере связи и механизме формирования поверхностных соединений в сложных системах ГМТА/ $\text{SiO}_2$ , ГМТА/ $\text{Al}_2\text{O}_3$  и  $\text{MCl}_2/\text{GMTA/SiO}_2$  затрудняется интерпретация данных по реакционной способности указанных систем при разложении озона.

Целью настоящей работы является установление состояния закрепленного на  $\text{SiO}_2$  и  $\text{Al}_2\text{O}_3$  гексаметилентетрамина и его комплексов с Cu(II), Co(II) и Mn(II).

### Методика эксперимента

Закрепление ГМТА на оксидных носителях. В качестве носителей использовали  $\text{SiO}_2$  (КСМГ) ( $S_{уд} = 360 \text{ м}^2/\text{г}$ ,  $d_3 = 0,5-1,0 \text{ мм}$ , pH водной вытяжки 4,5) и  $\text{Al}_2\text{O}_3$  ( $S_{уд} = 120 \text{ м}^2/\text{г}$ ,  $d_3 = 0,5-2,0 \text{ мм}$ , pH водной вытяжки 6,8). Силикагель и оксид алюминия предварительно сушили при 373 К. 10 г носителя  $\text{SiO}_2$  импрегнировали (по влагоемкости) 6 мл водного раствора с заданным количеством моль ГМТА, чтобы его содержание в образцах после сушки составляло  $1,0 \cdot 10^{-4}$  моль/г. В случае применения в качестве носителя  $\text{Al}_2\text{O}_3$  10 г носителя импрегнировали (по влагоемкости) 9 мл раствора с заданным количеством моль ГМТА.

Закрепление ГМТА и солей металлов на  $\text{SiO}_2$ . Во избежание гидролиза солей металлов в растворе ГМТА образцы  $\text{MCl}_2/\text{GMTA/SiO}_2$  ( $M = \text{Cu}^{2+}, \text{Co}^{2+}, \text{Mn}^{2+}$ ) получали методом ступенчатого импрегнирования. На первой стадии наносили раствор солей; на второй — пропитывали водным раствором ГМТА заданной концентрации. Изменение порядка нанесения компонентов не влияет на активность образцов в реакции разложения озона.

ИК спектры регистрировали с помощью спиртофотометра Perkin Elmer Spectrum BX FT-IR System ( $4400-350 \text{ см}^{-1}$ ) с использованием сильной аподизации Нбира-Нортонса и спектральной разделительной способностью  $4 \text{ см}^{-1}$ . Спектры полученных образцов записывали в прессованных таблетках с KBr.

Электронные спектры диффузного отражения регистрировали при комнатной температуре в диапазоне волновых чисел  $30000\text{--}12000\text{ см}^{-1}$  с помощью “Specord M-40” с использованием кювет из нержавеющей стали, путем запрессовки в них образцов, относительно внутреннего стандарта  $\text{MgO}$ .

### Экспериментальные результаты и их обсуждение

В таблице обобщены результаты ИК-спектральных исследований ГМТА, воздушно-сухих образцов  $\text{SiO}_2$  и  $\text{Al}_2\text{O}_3$ , а также закрепленных на них ГМТА и его комплексов с медью(II), кобальтом(II) и марганцем(II). Спектр ГМТА хорошо совпадает с известными [1–3]. По данным [4] в ИК-спектрах гидроксилированной поверхности кремнезема полосы в области  $3400\text{--}3690\text{ см}^{-1}$  соответствуют валентным колебаниям  $\text{OH}$  ( $\nu_{\text{OH}}$ ) адсорбированных ассоциатов и концевых групп воды; колебаниям  $\text{OH}$ -групп адсорбированных молекул воды в области  $1630\text{--}1635\text{ см}^{-1}$  — деформационным ( $\delta_{\text{H}_2\text{O}}$ ); колебаниям молекул воды, связанных с силанольными группами, в области  $500\text{--}200\text{ см}^{-1}$  — либрационным ( $\gamma_{\text{H}_2\text{O}}$ ). Для откаченных при  $25^\circ\text{C}$  образцов валентные колебания  $\nu_{\text{OH}}$  “свободной” сильнольной группы проявляются при  $3745\text{--}3750\text{ см}^{-1}$  [4, 5].

В случае  $\text{Al}_2\text{O}_3$  изолированной  $\text{OH}$ -группе приписывают полосу при  $3700\text{ см}^{-1}$ , а с увеличением от одного до четырех числа  $\text{O}^{2-}$ -ионов, окружающих  $\text{OH}$ -группу,  $\nu_{\text{OH}}$  приписывают значения  $3733$ ;  $3744$ ;  $3780$ ;  $3800\text{ см}^{-1}$ , соответственно [5]. Как видно из данных таблицы спектры воздушно-сухих  $\text{SiO}_2$  и  $\text{Al}_2\text{O}_3$  не содержат характерные полосы поглощения валентных колебаний изолированных  $\text{OH}$ -групп и можно говорить о том, что адсорбированные молекулы воды взаимодействуют с поверхностными  $\text{OH}$ -группами через водородные связи.

К сожалению, при анализе спектров образцов ГМТА и ГМТА/ $\text{SiO}_2$  приходим к выводу, что поглощения валентных колебаний  $1238$  ( $\nu_{10}$ ) и  $1006$  ( $\nu_9$ )  $\text{см}^{-1}$ , а также деформационных  $\delta_{\text{CH}_2}$  при  $1370$  и  $1048\text{ см}^{-1}$  молекулы ГМТА перекрываются интенсивным поглощением в области  $962\text{--}1375\text{ см}^{-1}$  с максимумом при  $1072\text{ см}^{-1}$ , относящимся к валентным колебаниям связей  $\text{Si-O}$ . По той же причине не обнаруживается полоса  $1026\text{ см}^{-1}$ , приписываемая монопротонированной форме ГМТА [6]. Полоса  $672\text{ см}^{-1}$  ( $\nu_8$ ) совпадает с полосой либрационных колебаний молекул воды, связанных с кремнеземным каркасом,  $669\text{ см}^{-1}$ , что приводит к возрастанию относительной интенсивности поглощения; обнаруживается слабое деформационное колебание  $\delta_{\text{CH}_2}$  при  $1487\text{ см}^{-1}$  в виде плеча на высокочастотной компоненте полосы  $1072\text{ см}^{-1}$ . Произошли изменения в области колебаний  $\text{OH}$ -групп, связанных водородными связями с адсорбированными молекулами воды (низкочастотный сдвиг,  $\Delta\nu = 10\text{ см}^{-1}$ ), а также в области деформационных колебаний ( $\delta_{\text{H}_2\text{O}}$ ) — расщепление полосы на две с максимумами при  $1658$  и  $1642\text{ см}^{-1}$ . Это может свидетельствовать о неравноценности молекул воды, связанных с поверхностной  $\text{OH}$ -группой, из-за формирования водородной связи с третичным азотом ГМТА.

В ИК-спектре ГМТА/ $\text{Al}_2\text{O}_3$  появляются новые полосы при  $2079$  (сл),  $582$  (о.сл.) и  $412$  (о.сл.)  $\text{см}^{-1}$ ; полоса  $\nu_9$   $1006\text{ см}^{-1}$  испытывает высокочастотный сдвиг до  $1022\text{ см}^{-1}$  и совпадает с полосой  $1024\text{ см}^{-1}$  исходного  $\text{Al}_2\text{O}_3$ ; полоса  $\nu_8$   $672\text{ см}^{-1}$  испытывает низкочастотное смещение и совпадает с полосой  $668\text{ см}^{-1}$  для  $\text{Al}_2\text{O}_3$ .

Можно отметить некоторые изменения деформационных колебаний  $\delta_{\text{CH}_2}$  — наблюдается высокочастотное смещение до  $1466\text{ см}^{-1}$  по сравнению с  $1440\text{ см}^{-1}$  для ГМТА, а полоса  $812\text{ см}^{-1}$  для маятниковых колебаний  $\text{CH}_2$  фиксируется при

*Состояние закрепленного на оксидных носителях гексаметиленететрамина*

Таблица

Волновые числа ( $\text{см}^{-1}$ ) максимумов полос поглощения в ИК спектрах ГМТА, закрепленного на  $\text{SiO}_2$  и  $\text{Al}_2\text{O}_3$ , и его комплексов с Cu(II), Co(II) и Mn(II)

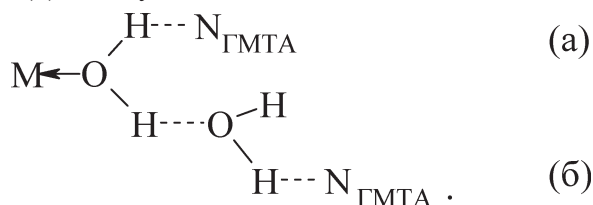
Соединение	v(OH)	$\delta(\text{OH}_2)$	$\nu(\text{SiO})$ , $\nu(\text{Al}_2\text{O}_3)$ ,	$\delta_{\text{CN}}$ , $\delta(\text{CNC})$	$\gamma(\text{H}_2\text{O})$	Остальные частоты
ГМТА				1238 о.с.( $\nu_{10}$ ) 1006 о.с.( $\nu_9$ ) 672 с.( $\nu_8$ ) 513 с.( $\nu_7$ )	2955 с.; 2922 с.; 2906 с.; 2874 с.; 2018 сл.; 1786 сл.; 1748 сл.; 1458 с.; 1440 ср.; 1370 с.; 1048 ср.; 834 сл.; 812 с.	
$\text{SiO}_2$ (КСМГ)	3469 с.ш.	1639 ср.	1072 о.с.ш.		669 сл. 562 сл.	794 сл.; 460 с; 372 о.сл.; 351 сл
ГМТА/ $\text{SiO}_2$	3460 с.ш.	1658 ср. 1642 ср.	1072 о.с.ш.		668 сл. 563 сл.	1538 о.сл.; 1487 пл.; 796 ср.; 462 с.; 371 о.сл.; 351 сл.
$\text{CuCl}_2$ /ГМТА/ $\text{SiO}_2$	3468 с.ш.	1658 ср. 1642 ср.	1071 о.с.ш.		669 сл. 572 сл.	1402 о.сл.; 797 ср.; 461 с.; 372 о.сл.; 364 о.с.; 352 сл.
$\text{MnCl}_2$ /ГМТА/ $\text{SiO}_2$	3460 с.ш.	1657 ср. 1641 ср.	1072 о.с.ш.		669 сл. 538 сл.	1563 о.сл.; 1402 о.сл.; 791 сл.; 461 с.; 371 о.сл.; 351 сл.
$\text{CoCl}_2$ /ГМТА/ $\text{SiO}_2$	3440 с.ш.	1651 ср. 1632 ср.	1073 о.с.ш.		668 сл. 572 сл.	794 ср.; 463 с.; 371 о.сл.; 358 сл.; 350 сл.
$\text{Al}_2\text{O}_3$ (гранулированный)	3655 ср. 3621 с. 3527 о.с. 3456 о.с.	1640 ср. 1632 ср.	1024 о.с.ш.		668 сл. 560 сл.	2014 о.сл.; 1385 сл.; 753 сл.; 533 о.сл.; 427 о.сл.; 395 о.сл.; 374 о.сл.; 351 о.сл
ГМТА/ $\text{Al}_2\text{O}_3$	3622 с. 3528 о.с. 3455 о.с.	1632 ср.	1022 о.с.ш.	1238 ср.	667 сл. 561 сл.	2079 о.сл.; 1466 о.сл.; 1385 сл.; 800 о.сл.; 753 о.сл.; 582 о.сл.; 426 о.сл.; 412 о.сл.; 395 о.сл.; 372 о.сл.; 351 о.сл.

800 см<sup>-1</sup>. Наблюдающиеся изменения в ИК-спектре ГМТА/Al<sub>2</sub>O<sub>3</sub> указывают на деформацию молекулы ГМТА и, возможно, образование поверхностного комплекса, что согласуется с данными [7].

Обычно о вхождении ГМТА в координационную сферу металла судят по изменению в ИК-спектре скелетных колебаний C—N-связей: 513 ( $\nu_7$ ), 674 ( $\nu_8$ ), 1007 ( $\nu_9$ ) и 1240 ( $\nu_{10}$ ) см<sup>-1</sup> [1] (значения  $\nu$  могут незначительно отличаться [3, 8, 9]). Наибольшую относительную интенсивность проявляют полосы 1007 ( $\nu_9$ ) и 1240 ( $\nu_{10}$ ) см<sup>-1</sup> и по их смещению или расщеплению судят о проявлении лигандных свойств ГМТА. Авторами [10] была сделана попытка на основании характера изменения  $\nu_9$  и  $\nu_{10}$  классифицировать комплексы состава mMX<sub>j</sub>nC<sub>6</sub>H<sub>12</sub>N<sub>4</sub>·pH<sub>2</sub>O (M = Co(II), Ni(II), Cu(II); X = Cl<sup>-</sup>, SO<sub>4</sub><sup>2-</sup>); объяснить разное соотношение M : ГМТА в комплексах и проявление разной дентатности лиганда. Очевидно, что одних этих данных недостаточно, чтобы сделать окончательные выводы о способе координации ГМТА. Несомненным доказательством вхождения ГМТА во внутреннюю сферу металла является появление в ИК-спектре полосы M—N<sub>ГМТА</sub>, которая в зависимости от природы центрального атома проявляется в области 600–200 см<sup>-1</sup> [1, 11, 12].

Нами впервые получены ИК-спектры сложных систем MCl<sub>2</sub>/ГМТА/SiO<sub>2</sub>, где M = Cu(II), Co(II) и Mn(II) (табл.). В них, как и для образца ГМТА/SiO<sub>2</sub>, полосы 1006 ( $\nu_9$ ) и 1238 ( $\nu_{10}$ ) см<sup>-1</sup>, перекрываются широкой полосой колебаний Si—O с максимумом при ~1072 см<sup>-1</sup>. Существенно возрастает относительная интенсивность поглощения ( $\gamma_{H_2O}$ ) в ряду металлов Mn(II) < Cu(II) << Co(II). В области валентных колебаний OH-группы низкочастотный сдвиг усиливается в ряду Cu(II) < Mn(II) << Co(II), а полоса деформационных колебаний молекулы воды ( $\delta_{H_2O}$ ) подвергается расщеплению. Полосы, характеризующие валентные колебания связи M—O в гидратированных ионах металлов [13, 14], обнаруживаются при 572 см<sup>-1</sup> (CuCl<sub>2</sub>/ГМТА/SiO<sub>2</sub>), 572 и 358 см<sup>-1</sup> (CoCl<sub>2</sub>/ГМТА/SiO<sub>2</sub>) и 538 см<sup>-1</sup> (MnCl<sub>2</sub>/ГМТА/SiO<sub>2</sub>).

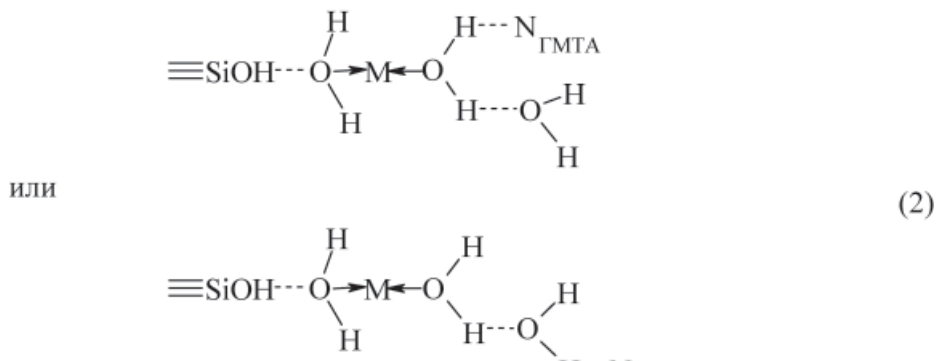
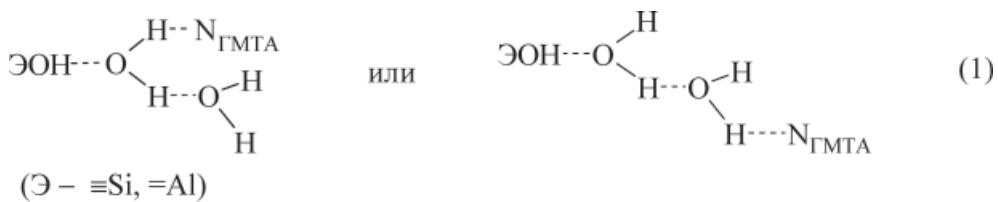
На основании полученных результатов, а также анализа литературных данных для комплексных соединений M(II) с ГМТА можно заключить. ГМТА при комплексообразовании в растворах конкурирует с молекулами растворителя (H<sub>2</sub>O, спирт) за место во внутренней координационной сфере центрального атома. В этой связи из спиртовых растворов выделяются комплексы, в которых молекулы ГМТА являются исключительно внутрисферными и их число по стерическим соображениям не превышает два [12]; остальные места занимают молекулы спирта, легко удаляемые при 140°C. При синтезе из водных растворов возможно образование двух типов комплексов, в которых во внутреннюю сферу входят: i) H<sub>2</sub>O и ГМТА (смешаннолигандный); ii) только молекулы H<sub>2</sub>O. В этом случае молекулы ГМТА присоединяются водородной связью к внутри- (а) либо внешнеесферным (б) молекулам воды



Наличие двух типов структурно неэквивалентных молекул воды подтверждается расщеплением в ИК-спектре полосы ее деформационного колебания на

две, положение максимумов которых определяется природой центрального атома [15]. В случае (а) и (б) ГМТА не связывается с металлом, о чем свидетельствует отсутствие полосы в области  $400\text{--}200\text{ см}^{-1}$  связи  $M-N_{\text{ГМТА}}$ . Как отмечают авторы [1], наряду с конкуренцией между молекулами ГМТА и  $H_2O$  за место в координационной сфере, решающую роль играет взаимодействие между самими лигандами, приводящее к образованию ассоциированных каркасов из воды, внутри которых находятся водородносвязанные молекулы ГМТА. Так из концентрированных растворов ГМТА при  $T < 13,5^\circ\text{C}$  выделен кристаллогидрат  $C_6H_{12}N_4 \cdot 6H_2O$ . Такая блокированная молекула ГМТА участвует в комплексообразовании с ионом металла через молекулу воды, выступая в качестве внешнесферного лиганда. С понижением концентрации ГМТА уменьшается степень межмолекулярной ассоциации и осуществляется непосредственная связь  $M-N_{\text{ГМТА}}$  [16].

Воздушно-сухой силикагель с нанесенными ГМТА и соответствующими солями  $MCl_2$  ( $M = Cu(\text{II}), Co(\text{II}), Mn(\text{II})$ ) является гидратированным и такую систему можно рассматривать как концентрированный раствор [17], в котором протекают процессы ассоциации молекул ГМТА и их комплексообразования с ионами металлов, подобно тому, как это происходит в водном или водно-спиртовых растворах. Исходя из анализа полученных данных можно полагать образование следующих поверхностных комплексов:



Формирование комплексов типа (2) подтверждается данными, полученными из электронных спектров диффузного отражения. Так в случае  $Cu(\text{II})$  отмечается слабый максимум в области  $12800\text{ см}^{-1}$ , что соответствует искаженно-октаэдрическим комплексам меди(II) в кислородном окружении и находится в соответствии с результатами для  $Cu(\text{II})/SiO_2$ (КСК) —  $\nu = 12500\text{ см}^{-1}$  [18]. Для индивидуальных комплексов  $Cu(NCS)_2 \cdot (C_6H_{12}N_4)_2$  максимум поглощения фиксируется при  $14705\text{ см}^{-1}$  [2]. Для  $CoCl_2/\text{ГМТА}/SiO_2$  фиксируется максимум около  $19600\text{ см}^{-1}$  с плечом при  $21500\text{ см}^{-1}$ , что соответствует октаэдрической конфигурации  $Co(\text{II})$  и не противоречит известным данным [2, 18, 19]. Из-за отсутствия

поглощения в области 30000–12000 см<sup>-1</sup> невозможно сделать вывод о строении комплексов, формирующихся в системе MnCl<sub>2</sub>/ГМТА/SiO<sub>2</sub>.

Таким образом, на основании данных ИК-спектроскопии показано, что в системах ГМТА/SiO<sub>2</sub> и ГМТА/Al<sub>2</sub>O<sub>3</sub> молекула гексаметилентетрамина закрепляется на поверхностной OH-группе через молекулу воды за счет водородной связи.

Порезультатам ИК-спектроскопии и ЭСДО сложных систем MCl<sub>2</sub>/ГМТА/SiO<sub>2</sub> (M = Cu(II), Co(II), Mn(II)) показано, что центральный атом связан с поверхностной OH-группой и молекулой ГМТА посредством водородных связей, формируемых с участием молекул воды.

## Литература

1. Иманакунов Б. И., Лукина Л. И. Взаимодействие гексаметилентетрамина с неорганическими солями и свойства твердых фаз. – Фрунзе: Илим, 1984. – 103 с.
2. Ahuja I. S., Singh R., Yadava C. L. Hexamethylenetetramine complexes with manganese(II), cobalt(II), nickel(II), copper(II), zinc(II) and cadmium(II) thiocionates // Spectrochimica Acta. – 1981. – Vol. 37A, N 6. – P. 407–414.
3. Эннан А. А., Гаврилова Л. А., Борисенко Т. С. Аддукт тетрафторида кремния с гексаметилентетрамином // Журн. неорг. химии. – 1976. – Т. 21, вып. 4. – С. 983–986.
4. Киселев А. В. Межмолекулярные взаимодействия в адсорбции и хроматографии. – М.: Высшая школа, 1986. – 360 с.
5. Бремер Г., Вендландт К. П. Введение в гетерогенный катализ. – М.: Мир, 1981. – 157 с.
6. Brolo A. G., Temperini M. L. A., Agostinho S. M. L. Copper dissolution in bromide medium in the absence and presence of hexamethylenetetramine (HMTA) // Electrochimica Acta. – 1998. – Vol. 44. – P. 559–571.
7. An anionic framework aluminophosphate [(CH<sub>2</sub>)<sub>6</sub>N<sub>4</sub>H<sub>3</sub>·H<sub>2</sub>O][Al<sub>11</sub>P<sub>12</sub>O<sub>48</sub>]] and computer simulation of the template positions / W. Yan, J. Yu, Z. Shi, P. Miao, K. Wang, Y. Wang, R. Xu // Micropor. Mesopor. Materials. – 2001. – Vol. 5. – P. 151–158.
8. Ahuja I. S., Yadava C. L., Singh R. Tetradeятate behaviour of hexamethylenetetramine // J. Molec. Structure. – 1982. – Vol. 81. – P. 289–291.
9. Ahuja I. S., Singh R., Yadava C. L. Hexamethylenetetramine complexes with manganese(II), cobalt(II), nickel(II), copper(II), zinc(II) and cadmium(II) thiocionates // Spectrochimica Acta. – 1981. – Vol. 37A, N 6. – P. 407–414.
10. Актанова С. Т., Сарукина Дж. Б., Казыбаев С. А. Инфракрасные спектры поглощения комплексных соединений гексаметилентетрамина с солями кобальта, никеля и меди // Гетерогенные равновесия систем из неорганических и органических соединений. – Фрунзе: Илим, 1974. – С. 131–134.
11. Иманакунов Б. И., Лукина Л. П. О координации гексаметилентетрамина неорганическими солями // Журн. неорг. химии. – 1979. – Т. 24, вып. 4. – С. 916–920.
12. Синтез и ЭПР комплексов Ag(II) с гексаметилентетрамином / Л. В. Антонова, Н. С. Ахметов, Т. Е. Бусыгина, В. К. Половняк, А. Е. Усачев // Журн. общ. химии. – 1990. – Т. 60, вып. 11. – С. 2539–2543.
13. Кукушкин Ю. Н. Химия координационных соединений. – М.: Высшая школа, 1985. – 445 с.
14. Костромина Н. А., Кумок В. Н., Скорик Н. А. Химия координационных соединений. – М.: Высшая школа, 1990. – 432 с.
15. Баличева Т. Г., Пологих И. В. ИК спектры и строение комплексов гексаметилентетрамина с кристаллогидратами перхлоратов двухвалентным металлов и MgCl<sub>2</sub> // Журн. неорг. химии. – 1975. – Т. 20, вып. 12. – С. 3202–3209.
16. Взаимодействие гексаметилентетрамина с хлористым кобальтом в водных растворах / У. Исаева, Л.И. Лукина, С.Т. Актанова, Л.А. Щедрова, Б.И. Иманакунов // Изв. АН Киргиз. ССР. – 1979. – № 1. – С. 33–34.
17. Rakitskaya T. L., Ennan A. A., Volkova B. Ya. Nизкотемпературная каталитическая очистка воздуха от монооксида углерода. – Одесса: Экология, 2005. – 191 с.

*Состояние закрепленного на оксидных носителях гексаметиленететрамина*

---

18. Воробьев В. Н., Хасанов Ф. Н., Разиков К. Х. Изучение условий формирования структуры и координационных свойств поверхностных центров с ионами  $\text{Ni}^{2+}$ ,  $\text{Co}^{2+}$ ,  $\text{Cu}^{2+}$  и  $\text{Fe}^{2+}$  на силикагеле // Адсорбция и адсорбенты. — 1982. — № 10. — С. 44–49.
19. Бrottиковский О. И., Швец В. А., Казанский В. Б. Исследование координационного состояния ионов  $\text{Co}^{2+}$ , нанесенных на поверхность силикагеля // Кинетика и катализ. — 1972. — Т. 13, вып. 5. — С. 1342–1344.

**Т. Л. Ракітська, А. С. Труба, С. Е. Самбуруський, Л. В. Короеva**

Одеський національний університет ім. І. І. Мечникова,  
кафедра неорганічної хімії та хімічної екології,  
вул. Дворянська, 2, Одеса, 65026, Україна

**СТАН ЗАКРІПЛЕННОГО НА ОКСИДНИХ НОСІЯХ ГЕКСАМЕТИЛЕНТЕТРАМИНА  
ТА ЙОГО КОМПЛЕКСІВ З  $\text{Cu(II)}$ ,  $\text{Co(II)}$  ТА  $\text{Mn(II)}$**

**Резюме**

Методом ІЧ-спектроскопії та ЕСДВ отримані спектральні характеристики ГМТА, повітряно-сухих зразків  $\text{SiO}_2$  та  $\text{Al}_2\text{O}_3$ , а також закріплених на них ГМТА та його комплексів з купрумом(ІІ), кобальтом(ІІ) і манганом(ІІ). Показано, що ГМТА, а також його комплекси з  $\text{Cu(II)}$ ,  $\text{Co(II)}$  та  $\text{Mn(II)}$  взаємодіють з OH-группою оксидних носіїв через молекулу води.

**Ключові слова:** спектральні характеристики, гексаметиленететрамін, комплекси, носії

**T. L. Rakytskaya, A. S. Truba, S.E. Samburskiy, L.V. Koroeva**

Odessa I. I. Mechnikov National University,  
Department of Inorganic Chemistry and Chemical Ecology,  
Dvoryanskaya St., 2, Odessa, 65026, Ukraine

**THE STATE OF HEXAMETHYLENETETRAMINE AND ITS COMPLEXES  
WITH  $\text{Cu(II)}$ ,  $\text{Co(II)}$ , AND  $\text{Mn(II)}$  ANCHORED ON OXIDE SUPPORTS**

**Summary**

Spectral characteristics of hexamethylenetetramine (HMTA), air-dry samples of  $\text{SiO}_2$  and  $\text{Al}_2\text{O}_3$ , as well as HMTA and its complexes with copper(II), cobalt(II), and manganese(II) anchored on those supports have been obtained by IR spectroscopy and EDR spectroscopy. It has been revealed that HMTA and its complexes with  $\text{Cu(II)}$ ,  $\text{Co(II)}$ , and  $\text{Mn(II)}$  interact with an OH group of the oxide supports via a water molecule.

**Keywords:** spectral characteristics, hexamethylenetetramine, complexes, supports

Thank you for evaluating AnyBizSoft PDF Splitter.

A watermark is added at the end of each output PDF file.

To remove the watermark, you need to purchase the software from

<http://www.anypdftools.com/buy/buy-pdf-splitter.html>